

## برآورد بیزی پارامترهای سیگنال در یک میدان تصادفی گاووسی

محمد رضا فرید روحانی، خلیل شفیعی هولیقی

گروه آمار، دانشگاه شهید بهشتی

تاریخ دریافت: ۱۳۸۶/۱۰/۲۸ تاریخ آخرین بازنگری: ۱۳۸۶/۱۲/۲۶

**چکیده :** تا کنون مسئله آشکارسازی سیگنال با استفاده از نظریه میدان‌های تصادفی توسط گروهی از آمارشناسان مورد بررسی قرار گرفته است. در این مقاله برآورد نقطه‌ای پارامترهای سیگنال یک میدان تصادفی گاووسی فضای مقیاس به روش بیزی را مورد بررسی قرار می‌دهیم. با توجه به پیچیدگی توزیع پسین پارامترهای این مدل و عدم وجود فرم بسته برای آن، با استفاده از روش مونت کارلوی زنجیر مارکوفی (MCMC)، برآوردهای مذکور را تقریب کرده‌ایم. درنهایت از روش پیشنهادی برای تحلیل داده‌های fMRI حاصل از یک مطالعه واقعی در موسمه عصب شناسی مونترآل کانادا استفاده کرده‌ایم.

**واژه‌های کلیدی :** میدان تصادفی، میدان گاووسی فضای مقیاس، مشتق رادن-نیکودیم، روش مونت کارلوی زنجیر مارکوفی (MCMC).

آدرس الکترونیک مسئول مقاله: محمد رضا فرید روحانی، m\_faridrohani@sbu.ac.ir

## ۱ مقدمه

تصویربرداری تشدید مغناطیسی (MRI) روشی است، که در آن از امواج رادیویی و یک میدان مغناطیسی بسیار قوی به جای اشعه X به منظور تصویربرداری از داخل اندامهای انسانی استفاده می‌شود. تکنیک مزبور در تصویربرداری از مغز به عصب شناسان کمک می‌کند تا نواحی سفید و خاکستری مغز را از یکدیگر تشخیص داده و به علاوه بتوانند نواحی آسیب دیده مغز که به سبب عواملی همچون وجود تومور و نظرایر آن رخ می‌دهند را بر اساس تعداد زیادی تصویر در یک بازه زمانی کوتاه شناسایی کنند. با بهره‌گیری از قابلیت‌های تصویربرداری تشدید مغناطیسی می‌توان نسبت به اندازه‌گیری تغییرات متابولیک در نواحی فعال مغز که ناشی از اعمال یک تحریک خاص می‌باشد اقدام نمود. بکارگیری تصویربرداری تشدید مغناطیسی به هدف شناسایی نواحی فعال مغز به تصویربرداری تشدید مغناطیسی عملکردی (fMRI) موسوم است. متذکر می‌گردد علیرغم آنکه نواحی عمومی مرتبط با فعالیت‌هایی نظیر صحبت کردن، چشیدن، حفظ کردن و موارد دیگر در مغز انسان مشخص است، مکان دقیق این فعالیت‌ها از فردی به فرد دیگر متغیر است. علاوه بر این آسیب‌ها، ضربه‌های مغزی و نیز وجود تومورها باعث جابجایی محل یک فعالیت خاص می‌گردد، بطوریکه درمان چنین آسیب‌هایی مستلزم شناسایی مکان دقیق اینگونه فعالیت‌ها می‌باشد.

در سال ۱۹۹۱ نخستین آزمایش با استفاده از تصاویر تشدید مغناطیسی جهت مطالعه فعالیت‌های مغز انجام پذیرفت. در آزمایشی مشابه در موسسه عصب شناسی مونترآل کانادا، یک آزمودنی تحت محرك بینایی ساده‌ای قرار گرفت که طی آن محرك‌هادر ۴ اسکن در وضعیت خاموش و در ۴ اسکن در وضعیت روشن قرار داشتند. عملیات فوق برای ۵ بار تکرار و نهایتاً ۴۰ اسکن از مغز فرد مورد نظر بدست آمده است. فاصله بین اسکن‌ها ۶ ثانیه و دوره کل اعمال محرك‌ها ۴۸ ثانیه بوده است. داده‌های مطالعه مزبور یک سری زمانی متشکل از ۴۰ تصویر  $128 \times 128$  پیکسل را تشکیل می‌دهند.

هدف مهم از تحلیل تصاویر حاصله از fMRI مکان‌یابی ناحیه‌ای از مغز است که

فعالیت ناشی از اعمال محرک خاصی در آن بروز یافته است. از نقطه نظر پردازش سیگنال، این ناحیه‌ای است که در آن سیگنال مشاهده می‌شود. بدین طریق می‌توان نواحی غیرفعال (نوفه سفید) را از نواحی فعال تشخیص داد. معمولاً پاسخ مورد ارزیابی در زمان  $t$  و مکان  $s$  در قالب یک فرایند مکانی-زمانی و به صورت مجموع دو مؤلفه سیگنال نوفه سفید مدل‌بندی می‌گردد. بسته به هدف از تحقیق، مدل بندی‌های مختلفی برای تحلیل آماری داده‌های fMRI توسط آمارشناسان موردنمود توجه قرار گرفته است. فریستون و همکاران (۱۹۹۴ و ۱۹۹۵)، ورسلى و فریستون (۱۹۹۵) مؤلفه سیگنال در مکان  $t$  را به صورت پیچش  $(t)h$  با تابع پاسخ هموداینامیک مدل‌بندی نمودند. این در حالی است که ورسلى و همکاران (۱۹۹۲)، ورسلى (۱۹۹۴) از مدل‌بندی مبتنی بر نظریه میدانهای تصادفی استفاده و تصاویر fMRI را به عنوان تحقیقی از یک میدان تصادفی گاووسی در نظر گرفتند. شفیعی (۱۹۹۸) و ورسلى (۲۰۰۱) نشان دادند که بیشتر ویژگی‌های سیگنال در مؤلفه کسینوس آن بروز یافته که این مؤلفه نیز تقریباً یک میدان تصادفی گاووسی می‌باشد. براساس روش پیشنهادی ورسلى، مؤلفه زمان در سری زمانی یاد شده حذف و براساس یک تصویر که به نوعی تلخیصی از این سری زمانی است، اقدام به شناسایی مکان سیگنال احتمالی می‌شود. سیگموند و ورسلى (۱۹۹۷) بر این اساس نشان دادند که برای آشکارسازی سیگنالی با شکل تابعی گاووسی که مکان و مقیاس آن نامعلوم است، آماره نسبت درستنمایی برای آزمون فرض عدم وجود سیگنال، معادل ماکزیمم کلی میدان تصادفی در ناحیه جستجو است. اما از آنجا که توزیع دقیق این آماره شناخته شده نیست، برای محاسبه  $p$ -مقدار، صرفاً می‌توان براساس آمید ریاضی تابع مشخصه اویلر، آنرا تقریب نمود. مسئله آشکارسازی سیگنال از منظر بیزی نیز مورد مطالعه قرار گرفته است. جنوویس (۲۰۰۰) و گوسل و همکاران (۲۰۰۱) با فرض استقلال زمانی-مکانی نوفه در مکان  $t$  به مدل‌بندی بیزی سیگنال پرداختند. جنوویس با برآش یک سیگنال پارامتری زمان-وابسته به مشاهدات، مدل‌بندی بیز را برای ارزیابی یکنواختی سیگنال در طی زمان بکاربرده است. این در حالی است که روش گوسل و همکاران او مبتنی بر مدل‌بندی بیزی پاسخ‌های هموداینامیک در مکان  $t$  بوده است. فریستون (۲۰۰۲)، فریستون و پنی (۲۰۰۲) و

## ۱۲۴ ..... برآورده بیزی پارامترهای سیگنال در یک میدان تصادفی گاووسی

پنی و همکاران (۲۰۰۳) از طریق مدل‌بندی خطی سلسله مراتبی زمانی یک روش بیزی تجربی را برای تحلیل تصاویر fMRI معرفی نموده‌اند. وولریچ و همکاران (۲۰۰۴) نیز نوافه زمانی-مکانی و مدل‌بندی تابع پاسخ هموداینامیک را در قالب رهیافتی بیزی مورد مطالعه و بررسی قرارداده‌اند. فریدروحانی و همکاران (۲۰۰۶) نیز روش بیزی را برای آشکارسازی سیگنال در یک میدان گاووسی فضای مقیاس معرفی و در یک مسئله واقعی بکاربرده‌اند. یاد آور می‌شود، از نقطه نظر آماری آشکارسازی سیگنال معادل مسئله آزمون فرض آماری وجود سیگنال است.

در این مقاله با استفاده از مفاهیم ارائه شده در مقاله فرید روحانی و همکاران (۲۰۰۶)، به برآورده بیزی پارامترهای سیگنال در یک میدان تصادفی براساس توزیع پسین این پارامترها می‌پردازیم. همچنین روش پیشنهادی را بر روی تصاویر fMRI حاصله از یک مطالعه انجام گرفته در موسسه عصب‌شناسی مونترآل کانادا، که پیشتر معرفی گردید، بکار خواهیم بست.

## ۲ توزیع پسین پارامترهای یک میدان گاووسی

یکی از مولفه‌های مهم رهیافت بیزی توزیع پسین  $\pi(\theta|x) = \frac{L(\theta|x) \cdot \pi(\theta)}{m(x)}$  است، که در آن  $m(x) = \int L(\theta|x) \cdot d\Pi(\theta)$  توزیع حاشیه‌ای متغیر تصادفی  $X$  و  $\Pi(\theta)$  معرف تابع توزیع پیشین پارامترهای موردنظر می‌باشند. با فرض آنکه  $\pi(\theta)$  معرف تابع چگالی پیشین پارامتر موردنظر باشد، به ازای  $\theta$  ثابت شده‌ای در فضای پارامتر، توزیع پسین فوق را با تقسیم نمودن صورت و مخرج بر  $L(\theta|x)$  می‌توان به صورت

$$\pi(\theta|x) = \left[ \int \frac{L(\theta|x)}{L(\theta_0|x)} d\Pi(\theta) \right]^{-1} \frac{L(\theta|x)}{L(\theta_0|x)} \pi(\theta) \quad (1)$$

بازنویسی کرد. برای شناسایی ساختار توزیع پسین در یک فضای کلی‌تر، فرض کنید  $(\Theta, F_\Theta, \Pi)$  نشان دهنده یک فضای احتمال پیشین و به ازای هر  $\theta \in \Theta$  نیز اندازه احتمالی روی فضای  $(X, F_X)$  باشد. روشن است که به ازای هر مجموعه دلخواه  $A \in F_X$  و هر  $\theta$  ثابت شده در  $\Theta$ ،  $P_\theta(A)$  و  $P_\Pi(A) = \int_\Theta P_\theta(A) d\Pi(\theta)$  دو اندازه احتمال روی  $(X, F_X)$  خواهند بود. بنابراین با استفاده از قضیه تجزیه لبگ، مجموعه‌ای مانند  $A_0 \in F_X$  به گونه‌ای که  $P_\Pi(A_0) = 0$  و تابع  $P_\Pi(A_0) = 0$ -اندازه‌پذیر و

نامنفی  $f$  وجود دارند به قسمی که:  $P_{\theta^*}(A) = \int f(x)dP_{\Pi}(x) + P_{\theta^*}(A \cap A_0)$  تابع  $f$  را مشتق رادن-نیکودیم  $P_{\theta^*}$  نسبت به  $P_{\Pi}$  نامیده، با نماد  $f(x)$  نشان می‌دهند و می‌توان آنرا به صورت

$$f(x) = \frac{dP_{\theta^*}}{dP_{\Pi}}(x) = [\int \frac{dP_{\theta^*}}{dP_{\theta^*}}(x)d\Pi(\theta)]^{-1}$$

به دست آورد (فریدروحانی و همکاران، ۲۰۰۶). بنابراین از آنجا که  $\pi(\theta|x) \propto \frac{dP_{\theta^*}}{dP_{\theta^*}}(x) \cdot \pi(\theta)$

$$\pi(\theta|x) = [\int \frac{dP_{\theta^*}}{dP_{\theta^*}}(x)d\Pi(\theta)]^{-1} \frac{dP_{\theta^*}}{dP_{\theta^*}}(x)\pi(\theta) \quad (2)$$

به دست می‌آید. بر این اساس توزیع پسین پارامترهای یک میدان تصادفی گاوی را به دست می‌آوریم.

میدان تصادفی  $\{Z(t); t \in C \subset [0, \infty)^N\}$  به صورت

$$dZ(t) = \xi \sigma_0^{-N/2} f\left(\frac{t-t_0}{\sigma_0}\right) dt + dW(t) \quad (3)$$

را درنظر بگیرید، که در آن  $t_0 \in C$ ،  $\xi \leq t_0 < \sigma_0$  به ترتیب پارامترهای مکان، پهنا و مقیاس سیگنالی به شکل تابعی  $f$  می‌باشند.  $W$  نیز معروف یک صفحه براونی  $N$  بعدی روی ناحیه  $C$  است. سیگموند و ورسلی (۱۹۹۵) میدان تصادفی گاوی فضای مقیاس با پارامترهای  $t_0 \in C$ ،  $\xi \leq t_0 < \sigma_0$  را به صورت شکل هموار شده

$$X(t, \sigma) = \sigma^{-N/2} \int k\left(\frac{h-t}{\sigma}\right) dZ(h) \quad (4)$$

تعریف نمودند، که در آن  $dZ$  از رابطه (۳) به دست آمده و  $k$  تابع هموارسازی است که در شرط  $\int k^2(t)dt = 1$  صدق می‌کند. یکی از مفیدترین توابع هموارساز، هموارساز گاوی  $k(t) \propto \exp^{-\|t\|^2/2}$  است. بعلاوه هر میدان گاوی فضای مقیاس  $X(t, \sigma)$  را می‌توان به صورت مجموع مولفه‌ای غیرتصادفی به فرم

$$\mu(t, \sigma; \xi, t_0, \sigma_0) = \xi (\sigma_0 \sigma)^{-N/2} \int f\left(\frac{h-t_0}{\sigma_0}\right) k\left(\frac{h-t}{\sigma}\right) dh$$

و یک مولفه تصادفی  $W^*(t, \sigma)$  نشان داد، که در آن  $W^*$  یک میدان تصادفی گاووسی با میانگین صفر، واریانس یک و تابع کوواریانس

$$Cov(X(t_1, \sigma_1), X(t_2, \sigma_2)) = (\sigma_1 \sigma_2)^{-N/2} \int k\left(\frac{h-t_1}{\sigma_1}\right) k\left(\frac{h-t_2}{\sigma_2}\right) dh$$

است. از آنجا که قضیه فیلتر جفت شده در پردازش سیگنال بیان می‌دارد که بهترین آشکارسازی سیگنال، با هموارسازی توسط تابعی انجام می‌بذرد که دارای شکل یکسانی با فرم تابعی سیگنال باشد، از این‌رو نوعاً تابع  $k$  و تابع  $f$  همسان فرض می‌شوند. سیگموند و ورسلی (۱۹۹۵) نشان داده‌اند که در یک میدان گاووسی فضای مقیاس (۴) و با فرض  $k = f$  (که لزوماً توابعی گاووسی نیستند)، برای آزمون فرض  $\xi^* X(t_0, \sigma_0) - \xi^{*\dagger}/2$  در مقابل  $\xi^* = \xi$  لگاریتم آماره نسبت درستنمایی به صورت

$$\xi^* X(t_0, \sigma_0) - \xi^{*\dagger}/2 \quad (5)$$

خواهد بود. بنابراین با فرض  $(\xi, t_0, \sigma_0) = \theta$  و  $(\circ, t_0, \sigma_0) = \theta_0$  و با استفاده از روابط (۲) و (۵)، توزیع پسین  $\theta$  را می‌توان در قالب قضیه زیر به دست آورد.

قضیه ۱ : گیریم  $X(t, \sigma)$  میدان گاووسی فضای مقیاسی به شکل (۴) باشد، که در آن  $t$  در یک زیر مجموعه فشرده از  $[0, \infty]$  قرار دارد. اگر  $(\xi, t_0, \sigma_0) = \theta_0$  در این صورت با فرض  $k = f$  که الزاماً توابعی گاووسی نیستند،

توزیع پسین  $\theta$  تحت پیشین  $(\theta)^\pi$  عبارت است از:

$$\left[ \int_{\Theta} e^{[\xi x(t_0, \sigma_0) - \xi^{*\dagger}/2] \pi(\theta)} d\theta \right]^{-1} e^{[\xi x(t_0, \sigma_0) - \xi^{*\dagger}/2] \pi(\theta)}. \quad (6)$$

برهان : نتیجه مستقیمی از رابطه (۲) و قضیه ۲ در فریدروجانی و همکاران (۲۰۰۶) است.

فرع ۱ : تحت مفروضات قضیه فوق، اگر  $\theta$  دارای توزیع پیشین ناسره روی فضای  $\Theta$  باشد در این صورت توزیع پسین  $\theta$  مناسب با تابع  $\exp[\xi x(t_0, \sigma_0) - \xi^{*\dagger}/2]$  خواهد بود.

فرع ۲ : تحت مفروضات قضیه فوق، اگر  $\xi$  مستقل از  $(t_0, \sigma_0)$  دارای توزیع پیشین ناسره روی  $(\infty, 0]$  باشد در این صورت توزیع پسین  $\theta$  عبارت است از:

$$\left[ \int_{\Theta_1} \frac{\Phi(x)}{\phi(x)} \pi_1(\theta_1) d\theta_1 \right]^{-1} \cdot \frac{\phi(\xi - x)}{\phi(x)} \cdot \pi_1(\theta_1) \quad (7)$$

که در آن  $(t_0, \sigma_0)$   $\theta_1 = \theta_1(t_0, \sigma_0)$  فضای پارامتر  $\theta_1$  و  $\Phi(\cdot)$  به ترتیب معرف تابع چگالی و تابع توزیع نرمال استاندارد هستند.

برهان : با استفاده از روشی مشابه اثبات رابطه (۹) در فریدروهانی و همکاران (۲۰۰۶) و با توجه به اینکه  $\frac{\phi(\xi - x)}{\phi(x)} = \frac{\phi(\xi - x)}{\phi(\xi - t_0, \sigma_0)}$  نتیجه (۷) بدست می‌آید. بنابراین با استناد به قضیه و نتایج فوق می‌توان براساس توزیع پسین (۶) نسبت به استنباط بیزی درباره پارامتر  $\theta = \theta(t_0, \sigma_0, \xi)$  اقدام نمود. به عنوان مثال تحت شرایط نتیجه ۱، به سهولت می‌توان نمای توزیع پسین را که در این حالت معادل برآورد ماکسیمم درستنمایی است، از رابطه

$$(\hat{t}_0, \hat{\sigma}_0) = \arg \max_{(t_0, \sigma_0)} X^*(t_0, \sigma_0), \quad \hat{\xi} = X(\hat{t}_0, \hat{\sigma}_0) \quad (8)$$

به دست آورد. با این وجود متأسفانه در اغلب موارد توزیع پسین (۶) دارای فرم بسته نبوده و مشخصات مختلف این توزیع به صورت تحلیلی قابل محاسبه نیستند. از اینرو با اینستی با استفاده از روش‌های عددی مانند فنون مبتنی بر محاسبات آماری مشخصات توزیع پسین را به گونه‌ای تقریب نمود. در بخش بعد با بهره‌گیری از روش مونت کارلوی زنجیر مارکوفی (MCMC) به معرفی الگوریتمی عمومی برای برآورد نماگرهای اصلی توزیع پسین (۷) می‌پردازیم.

### ۳ برآورد بیزی پارامترهای میدان گاوی فضای مقیاس به روش MCMC

همچنانکه می‌دانیم در مواردی که توزیع تحت بررسی به سادگی قابلیت نمونه‌گیری بر اساس روش‌های مرسوم را نداشته باشد، از روش‌های نمونه‌گیری تقریبی می‌توان استفاده نمود. روش MCMC یکی از روش‌هایی است که از توزیع مورد نظر به عنوان توزیع مانای یک زنجیر مارکوف، نمونه‌گیری می‌کند.

با توجه به اینکه برای تعیین هر گونه مشخصه توزیع پسین (۶) بایستی بتوان ضریب ثابت  $\int_{\Theta} e^{[\xi x(t_0, \sigma_0) - \frac{\xi^2}{2}]} \pi(\theta) d\theta$  را محاسبه نمود و از آنجا که این ضریب نوعاً به صورت تحلیلی قابل محاسبه نیست، می‌توان از روش MCMC برای تولید نمونه  $\{\theta^{(n)}\}$  از توزیع پسین (۶) استفاده نمود. به ویژه تحت شرایط نتیجه ۲ توزیع‌های شرطی  $\xi$  به شرط  $(t_0, \sigma_0) = \theta_1$  و بالعکس را می‌توان تعیین نمود. لذا با استفاده از الگوریتم متروپلیس-هستینگز و ترکیب آن با روش نمونه‌گیری‌گیز می‌توان روش عمومی تولید نمونه از توزیع پسین (۷) را معرفی کرد. به سهولت می‌توان نشان داد که تحت شرایط نتیجه ۲ توزیع‌های پسین شرطی از روابط

$$\pi(\xi|\theta_1, x) = \frac{\phi(\xi - x)}{1 - \Phi(-x)} \quad (9)$$

$$\pi(\theta_1|\xi, x) = \frac{\pi_1(\theta_1)\phi(\xi - x)/\phi(x)}{\int_{\Theta_1} \pi_1(\theta_1)\phi(\xi - x)/\phi(x)d\theta_1} \quad (10)$$

بدست می‌آیند. اینک با ترکیب روش نمونه‌گیری‌گیز و الگوریتم متروپلیس-هستینگز دنباله‌ای از نمونه‌های  $\{\theta_1^{(n)}, \xi^{(n)}\}$  را از توزیع پسین (۷) تولید می‌کنیم. گام‌های این الگوریتم ترکیبی به شرح زیر است:

۱) قرار می‌دهیم  $\theta_1^{(n)} = (t_0^{(n)}, \sigma_0^{(n)})$  را از توزیع پیشین  $\pi_1(\theta_1)$  تولید می‌کنیم.

۲) تحت  $\theta_1^{(n+1)} = (t_0^{(n)}, \sigma_0^{(n)})$  از توزیع (۹)  $\xi^{(n+1)}$  را تولید می‌کنیم.

۳)  $\theta_1^{*} = (t_0^{*}, \sigma_0^{*})$  را از توزیع پیشنهادی  $\alpha(\theta_1^{(n)}, \theta^*)$  و  $u$  را از توزیع یکنواخت  $(0, 1)$  تولید می‌کنیم.

۴) کسر  $\frac{P(\theta_1^{*}|\xi^{(n+1)}, x) \cdot q(\theta_1^{*}, \theta_1^{(n)})}{P(\theta_1^{(n)}|\xi^{(n+1)}, x) \cdot q(\theta_1^{(n)}, \theta_1^{*})}$  را بدست می‌آوریم.

۵) اگر  $\alpha(\theta_1^{(n)}, \theta^*) < u$  در اینصورت قرار می‌دهیم  $\theta_1^{*} = \theta_1^{(n+1)}$  و در غیر اینصورت  $\theta_1^{(n+1)} = \theta_1^{(n)}$ .

۶) قرار می‌دهیم  $n = n + 1$  و به گام ۲ می‌رویم.

با تکرار الگوریتم فوق و باصرفنظر کردن از  $b$  مقدار اولیه در دنباله  $\{\theta_1^{(n)}, \theta_1^{(n)}\} = \{(\xi^{(n)}, \theta_1^{(n)})\}$ ، نمونه‌ای تقریباً تصادفی از توزیع پسین (۷) بدست خواهد آمد، که از این نمونه می‌توان در برآورد پارامتر  $\theta$  استفاده نمود. به عنوان مثال برای برآورد میانگین توزیع پسین، می‌توان میانگین نمونه‌های تولیدی، یعنی

$$\hat{\theta}_j = \frac{1}{n-b} \sum_{i=b+1}^n \theta_j^{(i)} \quad j = 1, \dots, N+2$$

را به عنوان تقریبی از برآورد بیزی درنظر گرفت، که در آن  $b$  را نقطه برش دنباله  $\{\theta_j^{(i)}\}$  نامیده و روشهای مختلفی برای تعیین آن رائمه شده است. در این مقاله یکی از این روشهای موسوم به روش ارزیابی مجموع تجمعی مورد استفاده قرار گرفته است.

**حالات خاص :** فرض کنید پارامتر مکانی سیگنال مستقل از دو پارامتر پهنا و مقیاس دارای توزیع پیشین نرمال  $N$  متغیره با میانگین  $\mu$  و ماتریس واریانس-کوواریانس  $\Sigma$  باشد. همچنین  $\sigma$  مستقل از دو پارامتر دیگر دارای توزیع پیشین یکنواخت روی  $(1, 0)$  باشد. در این صورت به شرط  $t_0^{(n)}$  و  $\sigma_0^{(n)}$  توزیع پیشنهادی

$$q(\theta_1^{(n)}, \theta_1) = N(t_0^{(n)}, \Sigma_0). I_{(0,1)}(\sigma_0^{(n)}) \quad (11)$$

را درنظر می‌گیریم. با محاسبات نه چندان پیچیده گام‌های شش گانه تولید دنباله  $\{\theta_1^{(n)}\}$  از توزیع پسین (۷) را بصورت زیر بازنویسی می‌کنیم:

(۱) قرار می‌دهیم  $\theta_1^{(n)} = (t_0^{(n)}, \sigma_0^{(n)})$  را از توزیع پیشین  $N(\mu_0, \Sigma_0) I_{(0,1)}(\sigma_0)$  تولید می‌کنیم.

(۲) تحت  $\theta_1^{(n+1)} = (t_0^{(n)}, \sigma_0^{(n)})$  از توزیع شرطی (۹)،  $\xi^{(n+1)}$  را تولید می‌کنیم.

(۳)  $\theta_1^*$  را از توزیع پیشنهادی (۱۱) و  $u$  را از توزیع یکنواخت  $(1, 0)$  تولید می‌کنیم.

(۴) با توجه به تقارن توزیع پیشنهادی نسبت به دو مولفه خود،  $\alpha(\theta_1^*, \theta_1^*)$  را از طریق  $\min\left\{\frac{\pi_1(\theta^*)\phi(\xi^{(n+1)} - x(\theta^*))/\phi(x(\theta^*))}{\pi_1(\theta_1^{(n)})\phi(\xi^{(n+1)} - x(\theta_1^{(n)}))/\phi(x(\theta_1^{(n)}))}, 1\right\}$  بدست می‌آوریم.

برآورده بیزی پارامترهای سیگنال در یک میدان تصادفی گاوی ۱۳۰

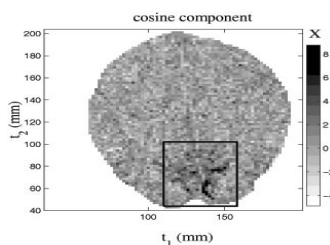
(۵) اگر  $\alpha(\theta_1^{(n)}, \theta^*) < u$  در اینصورت قرار می‌دهیم  $\theta^* = \theta_1^{(n+1)}$  و در غیر اینصورت  $\theta_1^{(n+1)} = \theta_1^{(n)}$ .

(۶) قرار می‌دهیم  $n = n + 1$  و به گام ۲ می‌رویم.

در بخش بعد با استفاده از توزیع پیشین فوق و الگوریتم ارائه شده به برآورده بیزی پارامترهای مکان، مقیاس و پهنازی سیگنال می‌پردازیم.

#### ۴ کاربرد در fMRI

در این بخش با استفاده از روش معرفی شده در بخش ۲، برآورده بیزی پارامترهای مدل گاوی فضای مقیاس را براساس تصاویر fMRI حاصله از مطالعه انجام شده در موسسه عصب شناسی مونترآل کانادا، محاسبه می‌کنیم. شکل ۱ تصویر مولفه



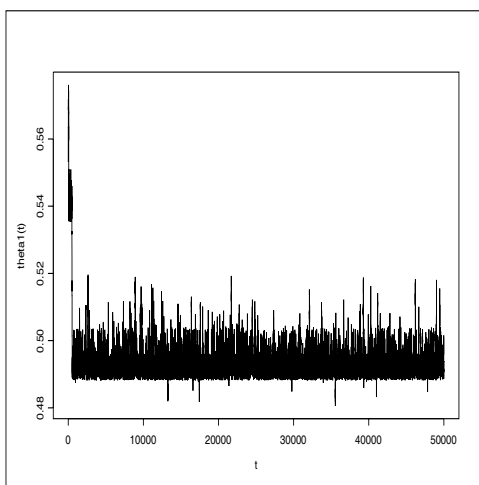
شکل ۱: مولفه کسینوس در یک تصویر واقعی تشدید مغناطیسی عملکردی (شفیعی و همکاران، ۲۰۰۳)

کسینوس سیگنال، پس از تلخیصی که بر روی سری زمانی تصاویر حاصله اعمال شده است، را نشان می‌دهد. پارامترهای این تصویر دو بعدی عبارتند از  $(\theta, t_{01}, t_{02}, \sigma_0)$ . با فرض برقراری شرایط نتیجه ۲ و با استفاده از رابطه (۸)، برآورده مکسیمم درستنمایی پارامترهای پهنازی، مکان (طول و عرض) و مقیاس سیگنال محاسبه و در جدول ۱ ارائه شده‌اند.

جدول ۱: برآورد ماقسیم درستنایی مولفه پهنا، مکان و مقیاس سیگنال.

$\sigma_0$	$t_{02}$	$t_{01}$	$\xi$	پارامتر
۱/۰۰۰	۰/۲۵۲	۰/۵۳۵	۱۷/۳۳۰	برآورد

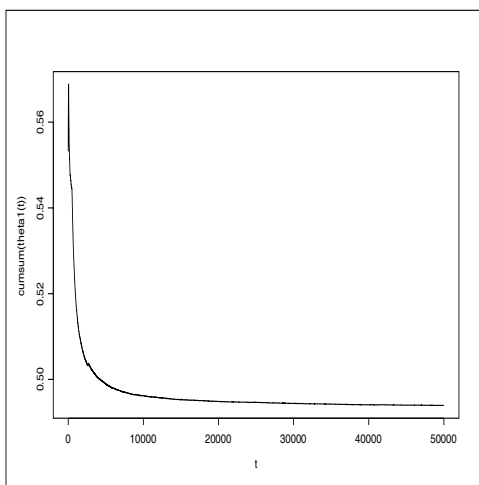
به منظور بدست آوردن برآورد بیزی پارامترهای فوق، برای مؤلفه مکان سیگنال توزیع پیشین نرمال دو متغیره مستقل با پارامترهای  $(\mu_1, \mu_2, \sigma_1, \sigma_2, \rho) = (0/5^0, 0/5^0, 0/1^0, 0/1^0, 0)$  را درنظر گرفته‌ایم. البته این توزیع در ناحیه جستجوی مغز بریده شده است. توزیع پیشین برای مؤلفه‌های مقیاس و پهنا نیز همانند توزیع پیشین (۱۱) انتخاب شده‌اند. براساس الگوریتم ترکیبی پیش گفته با  $50000$  تکرار، دنباله‌ای از پارامترها تولید شده‌اند، که به عنوان نمونه دنباله پارامتر طول سیگنال در شکل ۲ ملاحظه می‌شود.



شکل ۲: دنباله پارامتر طول سیگنال تولید شده

با توجه به نمودار مذبور علیرغم آنکه همگرایی دنباله تولیدی به خوبی مشهود است، اما برای کنترل دقیق‌تر همگرایی این گونه دنباله‌ها و به علاوه تعیین نقطه برش  $b$  که در تقریب برآوردهای بیزی مورد نیاز است، می‌توان از روش ارزیابی مجموع تجمعی سود جست. فرض کنید  $\hat{\theta}_n = \frac{1}{n} \sum_{j=1}^n \theta^{(j)}$  در اینصورت به نمودار

حاصل از رسم تابع  $\hat{\theta}_n - \sum_{j=1}^t \theta^{(j)}$  در مقابل  $t$  ارزیابی مجموع تجمعی گویند. اگر تابع مذبور با افزایش  $t$  رفتاری مجانبی داشته باشد، این ویژگی نشان از همگرایی دنباله تولیدی در الگوریتم MCMC دارد. جهت ارزیابی همگرایی دنباله‌های تولید شده، نمودارهای مجموع تجمعی متناظر با هریک از پارامترهای مکان، مقیاس و پهنهای سیگنال رسم و مورد توجه قرار گرفته‌اند. شکل ۳ نمودار مجموع تجمعی دنباله پارامتر طول سیگنال را نشان می‌دهد. با توجه به رفتار مجانبی این نمودار، همگرایی دنباله تولید شده تایید می‌شود و به علاوه با ملاحظه این نمودار تکرار ۲۰۰۰۰ را می‌توان به عنوان نقطه برش مناسب جهت برآورد دقیق‌تر پارامترهای سیگنال در نظر گرفت. البته ارزیابی مجموع تجمعی برای سایر مولفه‌های سیگنال نیز گویای همگرایی دنباله‌های تولید شده در الگوریتم پیشنهادی بوده و به علاوه نقطه برش مذبور را تایید می‌کند.



شکل ۳: نمودار مجموع تجمعی دنباله پارامتر طول سیگنال تولید شده

اینک پس از حصول اطمینان از کیفیت مقادیر تولید شده، می‌توان با استفاده از مباحث پیشین برآوردهای بیزی پارامترهای مورد نظر را بدست آورد. جدول ۲ برآوردهای بیزی پارامترهای سه گانه سیگنال را براساس میانگین و نمای توزیع پسین (۷)، به ترتیب برای دو انتخاب مختلف ( $1/0$  و  $0/1$  و  $5/0$  و  $0/5$ ) و

## فریدروهانی، شفیعی هولیقی ..... ۱۳۳

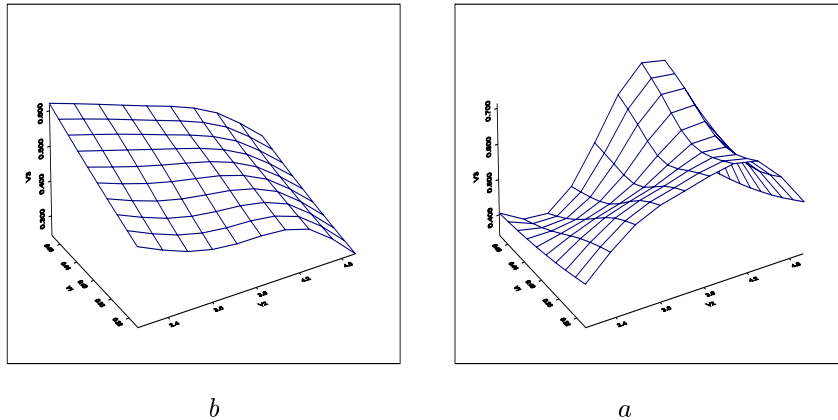
(۰/۰۵۳۵ و ۰/۲۵۲ و ۰/۰۵۳۵) به عنوان پارامترهای توزیع پیشین (۱۱) نشان می‌دهند. سطرهای دوم و سوم این جدول به ترتیب معرف میانگین و نمای توزیع پسین متناظر با پارامتر پیشینی (۰/۰۵۳۵ و ۰/۰۵۲ و ۰/۰۵۳۵) و سطرهای چهارم و پنجم معرف مقادیر مشابه و متناظر با پارامتر پیشینی (۰/۰۵۳۵ و ۰/۰۵۲ و ۰/۰۵۳۵) می‌باشند. متذکر می‌گردد انتخاب (۰/۰۵۳۵ و ۰/۰۵۲ و ۰/۰۵۳۵) به عنوان پارامترهای توزیع پیشین مکان سیگنال برگرفته از برآورد ماکسیمم درستنمایی مؤلفه‌های سیگنال است که پیشتر در جدول ۱ آرائه شد.

جدول ۲: برآورد بیزی مؤلفه پهنا، مکان و مقیاس سیگنال تحت پیشین (۱۱) با پارامترهای (۰/۰۵۳۵ و ۰/۰۵۲ و ۰/۰۵۳۵) و (۰/۰۵۲ و ۰/۰۵۳۵ و ۰/۰۵۳۵)

پارامتر	۰/۰۵۳۵	۰/۰۵۲	۰/۰۵۳۵
B1-Mean	۰/۴۹۳	۰/۳۵۰	۰/۹۷۸
B1-Mode	۱۳/۹۶۷	۰/۳۶۲	۱/۰۰۰
B2-Mean	۱۷/۲۴۸	۰/۰۵۰	۰/۹۸۷
B2-Mode	۲۱/۰۲۷	۰/۰۵۶۷	۱/۰۰۰

همچنانکه ملاحظه می‌شود برآورد مکان و مقیاس سیگنال در تمامی روش‌های پیشنهادی، اعم از روش ماکسیمم درستنمایی و روش بیزی، بسیار نزدیک به یکدیگرند. با این وجود برآورد بیزی پهناور سیگنال به نظر تحت تاثیر پیشین‌های انتخابی تفاوت چشمگیری را نشان می‌دهد. به منظور بررسی تاثیر انتخاب پارامترهای توزیع پیشین در برآورد بیزی میانگین پسین، این پارامترها به صورت عمومی ( $\mu_1$  و  $\mu_2$ ) در نظر گرفته شده‌اند. شکل‌های ۴.a و ۴.b به خوبی تاثیر انتخاب پارامترهای مختلف توزیع پیشین را در برآورد بیزی مزبور نشان می‌دهند.

همچنانکه در شکل ۴.a ملاحظه می‌شود بیشترین برآورد میانگین پسین برای مؤلفه طول سیگنال در مقادیر میانی  $\mu_2$  و مقادیر بالای  $\mu_1$  بدست می‌آید. این در حالی است که در مؤلفه عرض سیگنال، افزایش مقدار  $\mu_1$  و بالعکس کاهش سطح  $\mu_2$  باعث افزایش برآورد میانگین پسین طول سیگنال می‌شود.



شکل ۴: برآورد میانگین پسین مولفه (a) : طول و (b) : عرض سیگنال

از سوی دیگر مقایسه نتایج حاصل از برآورد ماکسیمم درستنمایی و برآوردهای بیزی مبتنی بر میانگین و نمای توزیع پسین، براساس مشخصه میانگین توان دوم خطاهای که از رابطه زیر بدست می آید نیز جالب توجه خواهد بود.

$$E^2 = \frac{1}{n * m} \sum_t [Z(t) - \hat{\xi} \hat{\sigma}_0^{-N/2} f\left(\frac{t - \hat{t}_0}{\hat{\sigma}_0}\right)]^2$$

که در آن  $n$  و  $m$  به ترتیب تعداد پیکسل‌های سطر و ستون تصویر مورد نظر است. مقادیر این کمیت برای تصویر مورد آزمون در جدول ۳ ارائه شده است. همچنانکه ملاحظه می شود از نقطه نظر میانگین توان دوم خطاهای، برآوردهای میانگین توزیع پسین با انتخاب پارامترهای پیشین ( $0^\circ/1^\circ/5^\circ/5^\circ/0^\circ$ ) از وضعیت مطلوب تری برخوردار است.

جدول ۳: میانگین توان دوم خطاهای برآوردهای بیزی و ماکسیمم درستنمایی

B2-Mean	B2-Mode	B1-Mean	B1-Mode	MLE	روش برآورد میانگین توان دوم خطاهای
۸/۹۰	۱۲/۵۱	۲/۰۸	۵/۷۸	۸/۱۳	

### بحث و نتیجه گیری

هدف این مقاله ارائه روشی برای محاسبه برآوردهای بیزی پارامترهای یک میدان تصادفی فضای مقیاس بوده است. بدینهی است در این راستا همانند هر رهیافت بیزی تعیین توزیع پیشین و مقادیر پارامترهای این توزیع حائز اهمیت خواهد بود. در این راستا استفاده از روش‌های مختلف انتخاب توزیع پیشین اعم از بیز سلسه‌مراتبی، بیز تجربی و سایر روش‌های مرسوم می‌تواند به گزینه قابل دفاعی به عنوان توزیع پیشین در یک مسئله واقعی منجر شود. اما آنچه از اهمیت برخوردار است توانایی ما برای محاسبه برآوردهای بیزی پارامترهای یک میدان تصادفی گاوی مقیاس تحت هر توزیع پیشین معین می‌باشد، که این امر براساس الگوریتم پیشنهادی انجام پذیر خواهد بود. متدکر می‌شود در مواردی نظری روش بیز تجربی یا سلسه‌مراتبی ترکیب روش پیشنهادی با روش‌های بهینه سازی عددی مانند الگوریتم EM می‌تواند به نتایج جالب توجهی منجر شود که خارج از اهداف این مقاله است.

### تقدیر و تشکر

این مقاله حاصل طرح پژوهشی مصوب در معاونت پژوهشی دانشگاه شهید بهشتی است که بدینوسیله از حمایت مالی این دانشگاه قدردانی به عمل می‌آید.

### مراجع

- Farid Rohani, M., Shafie, K., and Noorbaloochi, S. (2006), *A Bayesian Signal Detection Procedure for Scale Space Random Fields.*, The Canadian Journal of Statistics, **34(2)**, 311-325.

برآوردهای بیزی پارامترهای سیگنال در یک میدان تصادفی گاوی ۱۳۶

- Friston, K. J., Holmes, A. P., Poline, J. B., Grasby, P. J., Williams, S. C. R., and Frackowiak, R. S. J. (1995), *Analysis of fMRI Time Series Revisited*. NeuroImage, **2**, 45-53.
- Friston, K. J., Jezzard, P., and Turner, R. (1994), *Analysis of Functional MRI Time Series Human*. Human Brain Mapping, **1**, 153-171.
- Friston, K. J., and Penny, W. (2002), *Posterior Probability Maps and SPMs*. NeuroImage, **19(3)**, 1240-1249.
- Friston, K. J., Penny, W., Phillips, C., Kiebel, S., Hinton, G., and Ashburner, J. (2002), *Classical and Bayesian Inference in Neuroimaging: Theory*. NeuroImage, **16**, 465-483.
- Genovese, C. R. (2000), *A Bayesian Time-course Model for Functional Magnetic Resonance Image Data*. Journal of the American Statistical Association, **95(451)**, 691-703.
- Goseel, C., Fahrmeir, L., and Auer, D. (2001), *Bayesian Modeling of the Hemodynamic Response Function in Bold fMRI*. NeuroImage, **14**, 140-148.
- Penny, W., Kiebel, S., and Friston, K. J. (2003), *Variational Bayesian Inference for fMRI Time Series*. NeuroImage, **19(3)**, 724-741.
- Shafie, K. (1998), *The Geometry of Gaussian Rotation Space Random Fields*. PhD Thesis, Department of Mathematics and Statistics, McGill University, Montreal.
- Shafie, K., Sigal, B., Siegmund, D. O., and Worsley, K. J. (2003), *Rotation Space Random Fields with an Application to fMRI Data*. Annals of Statistics, **31**, 1732-1771.

فریدرو حانی، شفیعی هولیقی

- Siegmund, D. O., and Worsley, K. J. (1995), *Testing for Signal with Unknown Location and Scale in a Stationary Gaussian Random Field*. Annals of Statistics, **23**, 608-639.
- Woolrich, M., Behrens, T., Beckmann, C., Jenkinson, M., and Smith, S. (2004), *Multivariate Linear Modeling for fMRI Group Analysis Using Bayesian Inference*. NeuroImage, **21**, 1732-1747.
- Worsley, K. J. (1994), *Local Maxima and the Expected Euler Characteristic of Excursion Sets of  $\chi^2$ , F and t Fields. Classical and Bayesian Inference in Neuroimaging: Theory*. NeuroImage, **16**, 465-483.
- Worsley, K. J. (2001), *Testing for Signals with Unknown Location and Scale in a  $\chi^2$  Random Field, with an Application to fMRI*. Advances in Applied Probability, **33**, 773-799.
- Worsley, K. J., Evans, A., Marrett, S. and Neelin, P. (1992), *A Three Dimensional Statistical Analysis for CBF Activation Studies in Human Brain*. Journal of Cerebral Blood Flow and Metabolism, **12**, 900-918.
- Worsley, K. J. and Friston, K. J. (1995), *Analysis of fMRI Time-series Revisited-again*. Neuroimage, **2**, 173-181.